



#### اثر شیب در استهلاک انرژی جریان از روی سردیز پلکانی

## فرزین سلماسی<sup>۱</sup>، هادی ارونقی<sup>۲</sup>

دانشیار گروه مهندسی آب دانشکده کشاورزی دانشگاه تبریز

چکیدہ

**كلمات کلیدی:** استهلاک انرژی، سربزین پلکانی، شبیب سربزین، رگرسیون چند متغیره.

می باشد. میزان افت انرژی قابل ملاحظه باعث می شود تا عمق حفاری حوضچه آرامش پایین دست، طول حوضچه آرامش و ارتفاع دیوارهای جانبی آن کاهش بیابد و سبب صرفه جویی اقتصادی در اجرای سد بشود.

اکثر محققان به دو نوع رژیم جریان متفاوت به نامهای ریزشی و غیر ریزشی اشاره نموده اند. نوع اول در دبهای جریان کم و ارتفاع یلکان های بزرگ اتفاق می افتد و نوع دوم

مقدمة - ١

سرریزهای پلکانی از زمان‌های بسیار قدیم (حدود ۳۵۰۰ سال پیش) مورد استفاده قرار می‌گرفته‌اند ولی تاکنون، برخی از جنبه‌های هیدرولیکی مربوط به آنها ناشناخته باقی مانده است [۴]. در دهه‌های اخیر با استفاده از تکنولوژی جدید، ساخت سدها با کاربرد مصالح بتن غلطکی توسعه یافته و توجه به این سرریز را بیشتر کرده است. تحقیقات نشان می‌دهند که مقدار استهلاک انرژی در سرریزهای پلکانی بیشتر از سرریزهای صاف (بدون پلکان) با همان ابعاد

تئوری توسط راجارتانم<sup>۶</sup> [۱۴] که این میزان را ۸۹ درصد اعلام کرده بود، تناقض دارد [۱۲].

رایس و کاداوی<sup>۷</sup> [۱۵] مدلی از سریز پلکانی سد سالادو کریک<sup>۸</sup> در ایالت تگزاس آمریکا ساختند. ارتفاع مدل ۸۵/۳۵ سانتیمتر، شب آن ۲۱/۸ درجه و تعداد پله های آن ۲۷ عدد بود. جهت مقایسه مدلی نیز از سریز صاف با همان ارتفاع ساخته شد. شب سریز پلکانی بسیار ملائمتر از شب سریز ساخته شده توسط کریستودولو<sup>۹</sup> [۷] با شب ۵۵ درجه بود. به نظر رایس و کاداوی [۱۵] افت انرژی می بایست در شب های تند بیشتر از شب های ملائم باشد. ولی نتایج آزمایش ها نشان می داد که میزان استهلاک انرژی در آزمایش های ایشان و کریستودولو [۷] تطابق بسیار خوبی را نشان می دهند. به عقیده رایس و کاداوی [۱۵] در صورت مقایسه افت انرژی نسبی در واحد طول سریز در راستای جریان، میزان افت انرژی نسبی در سریزهای با شب تند بیشتر از سریزهای با شب ملائم خواهد شد.

چمنی<sup>۱۰</sup> و راجارتانم<sup>۱۱</sup> [۲] آزمایش هایی بر روی سریز پلکانی با شب ۵۹ درجه انجام دادند. با اندازه گیری غلظت حباب های هوای وارد شده به داخل جریان و تاثیر آن در افزایش عمق جریان، محققان مذکور عمق آب خالص (بدون هوا) را محاسبه و سپس با کاربرد آن، مقدار افت انرژی نسبی را تعیین نمودند. نتایج آزمایش ها نشان می داد که میزان افت انرژی نسبی در رژیم جریان غیرریزشی بین ۴۸ تا ۶۳ درصد تعییر می نماید.

فلدر<sup>۱۲</sup> و چانسون<sup>۱۳</sup> [۹] آزمایش هایی روی مدل فیزیکی سریز پله ای به ارتفاع یک متر و شب ۲۶/۶ درجه انجام دادند. ۵ حالت مختلف برای پله ها در نظر گرفته شد و میزان انرژی باقی مانده در پایین دست سریز اندازه گیری گردید. گرچه نتایج نشان می داد که تعداد پله اثر زیادی در انرژی باقیمانده پایین دست سریز ندارد، لیکن سریز دارای ۱۰ پله در حالی که هر کدام از پله ها ۱۰ سانتی متر ارتفاع داشته باشد، انرژی باقی مانده کمتری در پایین دست دارد و همین امر نشان دهنده ی استهلاک انرژی بیشتری در این سریز

در سریزهای با دیگر ارتفاع پلکان های کم رخ می دهد [۱۵ و ۱۶]. احتمالاً اسری و هورنر<sup>۱۴</sup> و سورنسن<sup>۱۵</sup> [۱۶] اولین پژوهشگرانی بودند که جریان از روی سریزهای پلکانی را به دو نوع رژیم جریان ریزشی و غیرریزشی تقسیم بندی نمودند.

براساس نتایج آزمایش های انجام شده بر روی سریزهای پلکانی می توان گفت که تبدیل رژیم جریان ریزشی به غیر ریزشی تقریباً در  $y/h = 0/8$  اتفاق می افتد [۱۵]، که در آن  $y$  عمق بحرانی بر روی سریز (نماینده دی جریان) و  $h$  ارتفاع عمودی هر یک از پلکان ها می باشد. در تبدیل رژیم جریان ریزشی به غیر ریزشی علاوه بر پارامتر  $y/h$ ، شب سریز نیز موثر است. نتایج بررسی ها نشان می دهد که برای وقوع رژیم جریان غیرریزشی، می بایست دی جریان از یک مقدار مشخصه بحرانی بیشتر گردد. این مشخصه برای شروع رژیم غیر ریزشی به صورت رابطه زیر ارائه گردید [۶] :

$$(1) \quad (y_c)_{onset} / h = 1.057 - 0.465 (h/l)$$

در رابطه (۱)  $l$  طول افقی هر یک از پلکان ها است. بسیاری از محققین بر این عقیده اند که استهلاک انرژی در رژیم جریان ریزشی بیشتر از رژیم جریان غیرریزشی است [۳، ۱۱، و ۱۳]. ولی به عقیده چانسون<sup>۱۳</sup> در سریزهای پلکانی طولانی که در آنها جریان توسعه یافته اتفاق می افتد، افت انرژی جریان با رژیم غیرریزشی بیشتر از رژیم ریزشی خواهد بود [۴ و ۵]. در پاسخ به این نظر، ماتوس و کینتل<sup>۱۴</sup> خطای حاصل از ورود هوا در مجرای سریز را در هنگام اندازه گیری عمق جریان مطرح ساختند و اظهارات چانسون [۶] را سوال انگیز تلقی نمودند. ایشان استفاده از عمق آب هواده هی شده جهت محاسبه افت انرژی را صحیح ندانستند و اظهار داشتند که به سبب کاربرد عمق آب هواده هی شده به جای عمق آب خالص، مقدار استهلاک انرژی جریان بیش از واقعیت تخمین زده شده است [۱۱]. تعیین مقدار افت انرژی توسط روش غیرمستقیم با استفاده از عمق ثانویه پرش هیدرولیکی نیز به کار گرفته شده است [۱۲ و ۱۷]. نتایج آزمایش های پگرام<sup>۱۵</sup> و همکاران نشان می داد که میزان استهلاک انرژی با تخمین

<sup>6</sup> Rajaratnam

<sup>7</sup> Rice and Kadavy

<sup>8</sup> Salado Creek

<sup>9</sup> Christodoulou

<sup>10</sup> Chamani

<sup>11</sup> Felder

<sup>1</sup> Essery and Horner

<sup>2</sup> Sorensen

<sup>3</sup> Chanson

<sup>4</sup> Matos and Quintela

<sup>5</sup> Pegram

سرریزهای با شیب ۴۵ درجه بزرگ مقیاس دارای عرض ۵۰ سانتی متر و ارتفاع ۱۰۰ سانتی متر بودند. سرریزهای با شیب ۲۵ و ۱۵ درجه کوچک مقیاس دارای عرض ۲۵ سانتی متر و ارتفاع ۳۲ سانتی متر بودند. در جدول (۱) به برخی از مشخصات مدل فیزیکی سرریزهای ساخته شده اشاره شده است.

جريان آب توسط مخزنی با ارتفاع ثابت ۴/۵ متری توسط شیر کنترل وارد فلومها می شد و پس از عبور از روی تاج سرریز و برخورد به پلکان‌ها، به پایین‌دست انتقال می یافت. جهت کنترل عمق آب پایین‌دست و محل تشکیل پرش هیدرولیکی، از دریچه کشویی قائم در انتهای فلومها استفاده گردید. عمق آب قبل و بعد از پرش هیدرولیکی توسط شاخص مدرج مجهز به ورنیه با دقیقیت ۰/۱ میلی متر در سه نقطه در عرض فلوم اندازه‌گیری می شد. اندازه‌گیری دبی جريان با سرریز مثلثی ۵۳ درجه (کالیبره شده) انجام می گرفت. در مقطع عمق آب قبل از پرش هیدرولیکی، هوای زیادی وارد جريان می گردید (به خصوص در دبی‌های بالا) و بنابراین در این مقطع، عمق جريان دو فازی (مخلوط آب و هوا) توسط شاخص مدرج اندازه‌گیری می شد.

است. برای ۵ حالت، ضریب زبری دارسی ویساخ از ۰/۱۲ تا ۰/۳۷ تغییر می کرد که با کار قبلی فلدر و چانسون [۹] که در آن ضریب زبری دارسی ویساخ از ۰/۱ تا ۰/۳۵ تغییر داشت، هماهنگ بود.

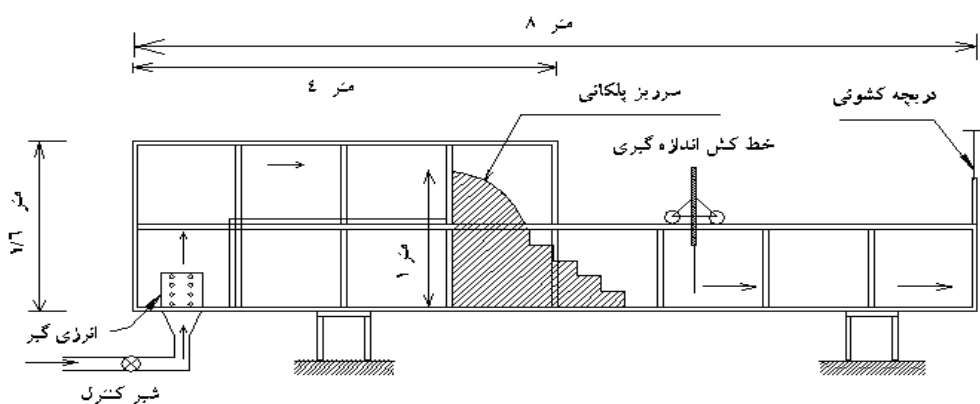
شجاع و همکاران [۲] با استفاده از الگوریتم ژنتیک اقدام به تبیین ابعاد بهینه سرریز سد مخزنی ساروق واقع در استان آذربایجان غربی نمودند. نتایج بهینه سازی نشان داد که سرریز پلکانی جایگزین شده به جای سرریز صاف، منجر به افزایش استهلاک انرژی، حذف و یا کاهش ابعاد مستهلك کننده انرژی در پایین دست سرریز پلکانی گردیده است. سلاماسی [۱] با تجزیه و تحلیل داده های حاصل از تعداد زیادی آزمایش نشان داد که استهلاک انرژی در سرریزهای پله‌ای متاثر از تعداد پله بوده و به ازای تعداد پله مشخص، می توان به حداقل استهلاک انرژی دست یافت.

## ۲- مواد و روش‌ها

این تحقیق در آزمایشگاه گروه مهندسی آب دانشکده کشاورزی انجام پذیرفت. تعداد ۱۲ مدل فیزیکی از سرریزهای پلکانی با شیب های ۴۵، ۲۵، ۱۵ سانتی متر و تعداد پله‌های ۵، ۱۰، ۱۵ ساخته شده و مورد آزمایش قرار گرفتند.

جدول ۱- مشخصات عمومی مدل فیزیکی سرریزهای پلکانی ساخته شده

عرض فلوم (سانتی متر)	تعداد آزمایشات	تعداد پله‌ها	ارتفاع کل سرریز پلکانی (سانتی متر)	شیب سرریز پلکانی (درجه)
۵۰	۹۳	۵۰-۳۵-۲۰-۱۵-۱۰-۵	۱۰۰	۴۵
۲۵	۲۲	۱۵-۱۰-۵	۳۲	۲۵
۲۵	۴۵	۱۵-۱۰-۵	۳۲	۱۵



شکل ۱- مقطع طولی فلوم، سرریز پلکانی و سیستم کنترل جريان در فلوم به عرض ۵۰ سانتی متر

### ۳- آنالیز ابعادی

هدف از روش آنالیز ابعادی، پیدا نمودن رابطه‌ای بین کمیت‌های فیزیکی در یک پدیده طبیعی است. با استفاده از آنالیز ابعادی می‌توان در بسیاری از حالات، رابطه‌ای پیچیده را تجزیه و تحلیل کرد و بین متغیرهای مختلف آن پدیده روابط صحیحی ایجاد نمود. رابطه به دست آمده از آن‌ها عموماً ساده‌تر و منطبق با شرایط فیزیکی می‌باشد. پارامترهای مهم و موثر بر جریان از روی سرریزهای پلکانی به شرح زیر می‌باشند:

الف- خصوصیات مربوط به سیال شامل: جرم واحد حجم

ماخی ( $\rho$ ) ، لزجت دینامیکی ( $\mu$ ) و شتاب ثقل ( $g$ )

ب- خصوصیات مربوط به جریان شامل: عمق جریان

( $y$ ) و سرعت جریان ( $V$ )

ج- خصوصیات هندسی سرریز شامل: تعداد پله‌ها ( $N$ ) ،

ارتفاع پله ( $h$ ) ، طول افقی ( $l$ ) هر پله و ارتفاع کل سرریز ( $H_{dam}$ )

پارامترهای ذکر شده در فوق را می‌توان در رابطه (۶) خلاصه نمود:

$$f(H_{dam}, h, l, N, g, y, \rho, \mu, V) = 0 \quad (6)$$

برای تبدیل متغیرهای رابطه (۶) به پارامترهای بی بعد، سه متغیر تکراری  $y$ ،  $\rho$ ،  $V$  را انتخاب می‌کنیم. سه متغیر مذکور مجموعاً ابعاد  $M, L, T$  را شامل می‌شوند. بعد از بدست آوردن پارامترهای بی بعد، نهایتاً معادله (۶) به صورت معادله (۷) تغییر خواهد کرد:

$$\Delta H / H_t = f_1(y_c / H_{dam}, q^2 / gH_{dam}^3), \quad (7)$$

$h / l, F_r, R_n, N$

دامنه تغییرات متغیرها به شرح زیر می‌باشند:  
دبی کل از  $0/75$  تا  $1/15$  لیتر در ثانیه، عمق آب قبل از پرش هیدرولیکی از  $1/6$  تا  $1/4$  سانتی متر، عمق آب بعد از پرش هیدرولیکی از  $4/7$  تا  $2/9$  سانتی متر، سرعت جریان آب قبل از پرش هیدرولیکی از  $1/2$  تا  $3/14$  متر در ثانیه، عدد فرود از  $3/75$  تا  $7/4$ ، عدد رینولز از  $3143$  تا  $105980$ ، تعداد پله از  $5$  تا  $50$  و ارتفاع سرریزها از  $32$  تا  $100$  سانتی متر.

اندازه‌گیری عمق آب بعد از پرش هیدرولیکی در محلی که حباب‌های هوای اندکی در جریان آب وجود داشت، انجام می‌گرفت.

در این آزمایش‌ها همچنین عمق‌های قبل و بعد از پرش هیدرولیکی اندازه‌گیری گردید. ولی برای محاسبه افت انرژی نسبی، از عمق ثانویه پرش هیدرولیکی استفاده گردید که دلیل آن وجود حباب‌های هوای کمتر در این مقطع نسبت به مقطع عمق قبل از پرش هیدرولیکی و خطای کمتر در محاسبات بود [۱]. مقدار انرژی در بالادست تاج سرریز،  $H_t$  به صورت زیر محاسبه گردید:

$$H_t = H_{dam} + 3/2 y_c \quad (2)$$

در رابطه ۲،  $H_{dam}$  برابر رقوم تاج سرریز می‌باشد که با توجه به اندازه دقیق مدل پس از ساخته شدن در فرمول قرار داده شده است. مقدار آن به طور متوسط یک متر برای سرریز به عرض  $50$  سانتی متر و  $32$  سانتی متر برای سرریز به عرض  $25$  سانتی متر است. همچنین  $y_c$  نشان‌دهنده عمق بحرانی بر روی سرریز می‌باشد که از رابطه  $y_c = (q^2/g)^{1/3}$  به دست آمده است و در آن  $q$  دبی در واحد عرض سرریز (متر مربع بر ثانیه) و  $g$  شتاب ثقل زمین و برابر  $9/81$  متر بر مجدور ثانیه است. برای محاسبه انرژی در پایین دست سرریز و قبل از پرش هیدرولیکی، با استفاده از عمق‌های مزدوج پرش هیدرولیکی، به روش زیر عمل شده است [۱۲]:

$$H_1 = y_1 + \frac{V^2}{2g} = y_1 + \frac{q^2}{2gy_1^2} \quad (3)$$

$$y_1 = \frac{1}{2} y_2 \left( \sqrt{1+8(y_c/y_2)^3} - 1 \right) \quad (4)$$

در روابط ۳ و ۴،  $y_1$  و  $y_2$  به ترتیب عمق‌های اندازه‌گیری شده قبل و بعد از پرش هیدرولیکی می‌باشند. همچنین لازم به توضیح است که  $y_1$  و  $y_2$  به ترتیب نمایانگر اعمق "مخلوط آب - هوا" و "آب" می‌باشند. مقدار استهلاک انرژی نسبی به صورت معادله (۵) تعریف شده است:

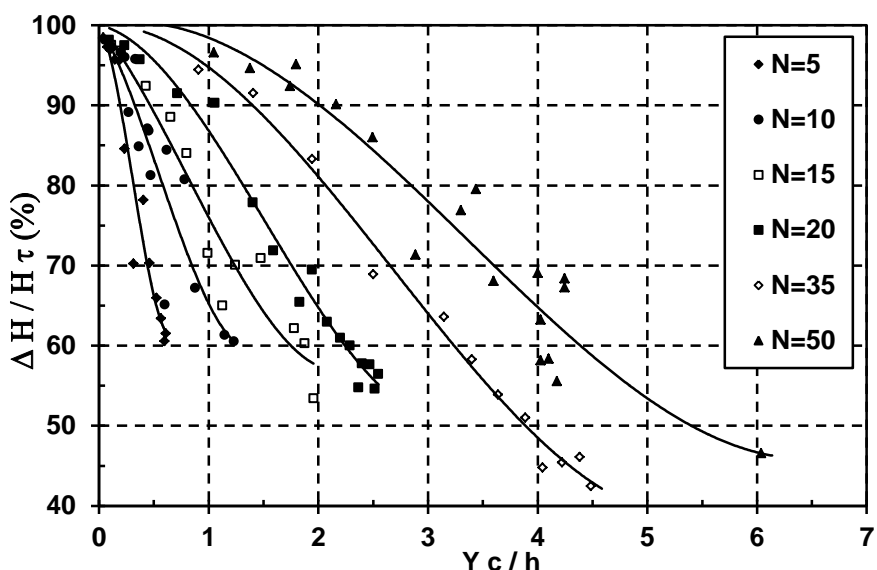
$$\Delta H / H_t = (H_t - H_1) / H_t \quad (5)$$

در رابطه (۵)  $H_1$  انرژی در پایین دست سرریز و قبل از پرش هیدرولیکی، با استفاده از رابطه ۳ و  $H_t$  انرژی کل در بالادست سرریز، با استفاده از رابطه ۲ هستند و بقیه پارامترها قبل معرفی شده‌اند.

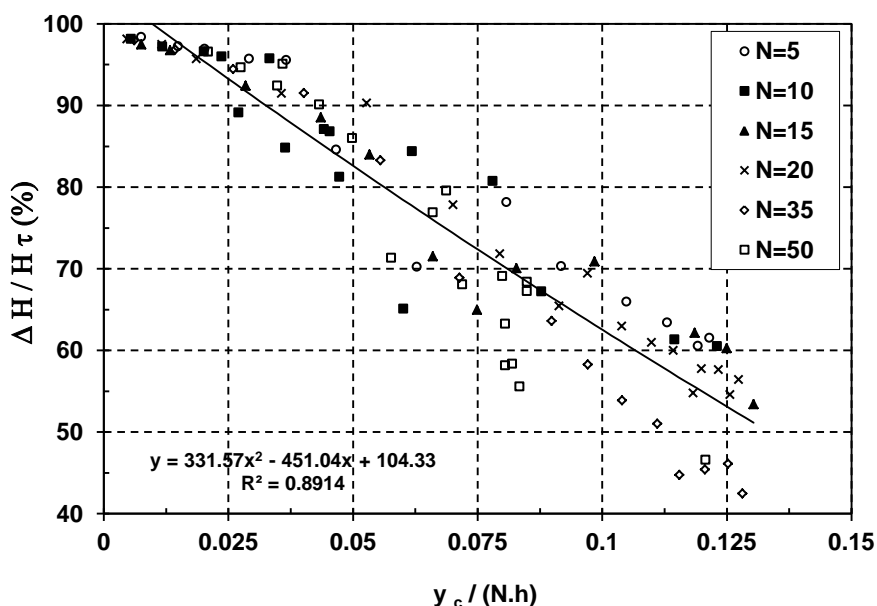
الف- شکل ۲ نمایانگر نتایج استهلاک انرژی نسبی در سرریزهای پلکانی ۵ تا ۵۰ پله با شیب ۴۵ درجه می باشد. محور افقی عمودی هر دو بی بعد هستند. لازم به ذکر است که جهت رعایت اختصار سایر شکل ها برای شیب های ۲۵ و ۱۵ درجه در این قسمت ارائه نشده است.

#### ۴- نتایج و بحث

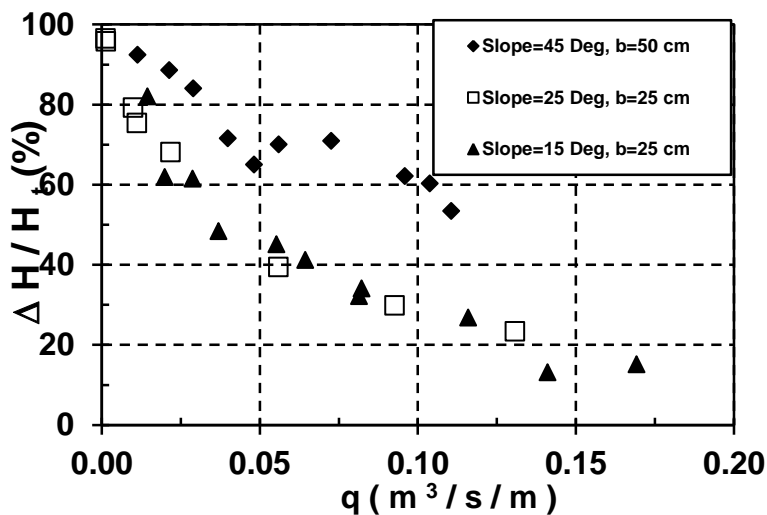
نتایج و بحث در سه بخش: الف- استهلاک انرژی نسبی ب اثر شیب در استهلاک انرژی. ج- مقایسه استهلاک انرژی نسبی این تحقیق با سایرین و د- تحلیل آماری مدل های خطی و غیر خطی چند متغیره برای سرریزهای پلکانی با شیب های متفاوت ۴۵، ۲۵، ۱۵ درجه به شرح زیر ارائه می گردد:



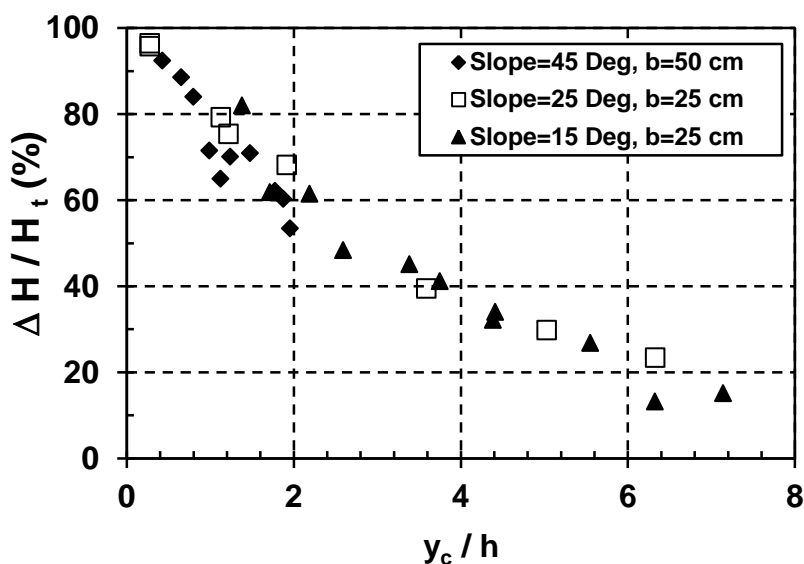
شکل ۲- استهلاک انرژی نسبی در سرریز پلکانی ۵ تا ۵۰ پله به تفکیک با شیب ۴۵ درجه



شکل ۳- استهلاک انرژی نسبی در سرریز پلکانی ۵ تا ۵۰ پله (نرمализ شده) با شیب ۴۵ درجه



شکل ۴- اثر شیب در استهلاک انرژی نسبی در سرریز پلکانی ۱۵ پله



شکل ۵- اثر شیب در استهلاک انرژی نسبی در سرریز پلکانی ۱۵ پله (نرمализ شده)

تعديل یا نرمализ کردن عامل بی بعد در محور افقی به صورت  $y_c/N.h$ ، می توان برای تمام نقاط آزمایشی یک خط پرازش داد و به عبارت دیگر معادله ای فشرده تر را به دست آورد. ب- در شکل (۴) به وضوح اثر شیب ۴۵ درجه (بیشترین شیب) در افزایش استهلاک انرژی، نسبت به شیب های ۲۵ و ۱۵ درجه مشاهده می گردد. احتمالاً اثر ناشی از شیب تند مربوط به تلاطم ایجاد شده، سرعت جریان بیشتر و همچنین اثر ناقص یا کامل بودن پرش هیدرولیکی بر روی هر پله (در

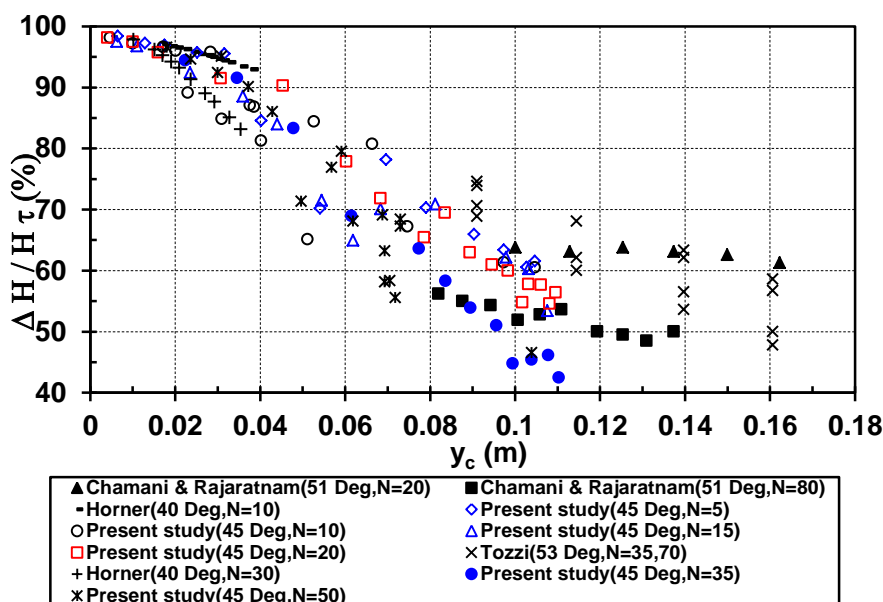
با توجه به شکل ۲ می توان ملاحظه نمود که با افزایش نسبت بی بعد  $y_c/h$  استهلاک انرژی نسبی کاهش می یابد. به تعوییر دیگر افزایش دبی، سبب کاهش اثر زبری پلهها در استهلاک انرژی می شود و با افزایش تعداد پله ها (کاهش ارتفاع پلهها)، تاثیر پله در مقاومت در برابر جریان کمتر می شود و لذا استهلاک انرژی کاهش می یابد. شکل (۳) حالت دیگری از شکل (۲) را ارائه می دهد که در آن عامل بی بعد در محور افقی تغییر یافته است. نتیجه جالب این است که با

دسترس نبود، در محور افقی شکل (۶) ناچارا از دی در واحد عرض استفاده شده است. شیب های منتخب بین ۴۰ تا ۵۱ درجه است که در محدوده شیب های تند قرار دارند. مطابق شکل (۶)، روند تغییرات استهلاک انرژی نسبی در داده هایی که متفاوت گزارش شده، نسبتا مشابه بوده است و با افزایش دی، استهلاک انرژی نسبی نیز کاهش می یابد. نتیجه دیگر این که افزایش شیب، باعث افزایش استهلاک انرژی می گردد و علت آن افزایش اندازه حرکت تبادلی بین جریان چرخشی زیر هر پله و جریان رویدای می باشد. این تبادل اندازه حرکت بین دو جریان با سرعت های متفاوت توسط چانسون و فلدر [۹] نیز بیان گردیده است.

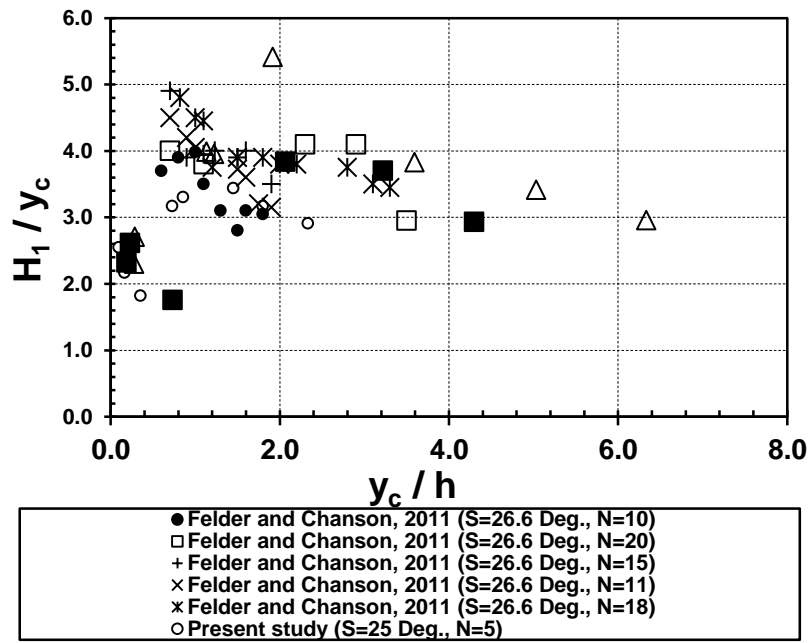
در شکل ۷ نتایج این پژوهش با نتایج آزمایش های چانسون و فلدر [۹] مورد مقایسه قرار گرفته است. با توجه به داده های موجود، در محور عمودی از عامل بی بعد  $y_c/H_1$  استفاده گردید (امکان مقایسه در شکل ۶ نبود) که در آن  $H_1$  از رابطه (۳) به دست آمده است.  $y_c/H_1$  به طور متوسط از ۲/۵ تا ۴/۵ متغیر است و ضمنا با افزایش دی کاهش می یابد. نکته دیگر این که نتایج این پژوهش تطابق زیادی را با نتایج چانسون و فلدر [۹] نشان می دهد.

حال رژیم ریزشی) می باشد. داده های آزمایشی نشان می دهند که بین شیب های ۲۵ و ۱۵ درجه اختلاف چشمگیری در استهلاک انرژی نسبی وجود ندارد، هر چند در شیب ۲۵ درجه، این امر کمی بیشتر از شیب ۱۵ درجه است که احتمالا علت آن کوتاه بودن ارتفاع سرریز است؛ زیرا همانطور که قبل اشاره شد، دو مدل سرریز با شیب های ۲۵ و ۱۵ درجه دارای ارتفاع ۳۲ سانتی متر بوده اند و لذا اختلاف طول وجه شیبدار که پله ها روی آن قرار دارند نیز ناچیز بوده است. به نظر می رسد که اثر شیب در ارتفاع های زیاد (مثل مدل به ارتفاع ۱۰۰ سانتی متری) نمایان تر می شود و در این زمینه نیاز به انجام آزمایش های بیشتری احساس می گردد. در شکل (۵) از عامل بی بعد  $y_c/H_1$  استفاده شده و ملاحظه می شود که نقاط آزمایشی در سه شیب به هم نزدیک تر شده و اثر شیب به نوعی در ارتفاع پله ظهور پیدا کرده است. شکل (۵) در واقع نرمالایز شده شکل (۴) است.

ج- در شکل (۶) نتایج استهلاک انرژی نسبی در شیب ۴۵ درجه حاصل از این پژوهش، با نتایج سایر محققین مقایسه گردیده است. چون آزمایش های سایرین در شیب های متفاوت انجام گرفته است، لذا سعی شده تا حد امکان، شیب های تقریبا مشابه در شکل (۶) به مقایسه گذاشته شوند. ضمنا از آنجا که کلیه داده های خام محققین مورد اشاره در



شکل ۶- مقایسه بین استهلاک انرژی نسبی با سایر محققین



شکل ۷- مقایسه بین انرژی در پایین دست سرریز پلکانی با نتایج آزمایشگاهی [۶]

جدول ۲- همبستگی تک پارامتری بین متغیر وابسته  $\Delta H / H_t$  و متغیرهای بی بعد

$R_n$	$F_r$	$\frac{H_{dam}}{y_c}$	$\frac{q^2}{gH_{dam}^3}$	N	S	$r^2$	درصد خطای متوسط نسبی
***	---	---	---	---	---	0/22	5/52
---	***	---	---	---	---	0/15	7/75
---	---	***	---	---	---	0/53	4/4
---	---	---	***	---	---	0/44	4/8
---	---	---	---	***	---	0/23	5/73
---	---	---	---	---	***	0/87	1/98

\*\*\* به معنی حضور پارامتر و --- به معنی عدم حضور پارامتر است.

مطابق جدول ۲ ملاحظه می شود که بزرگترین ضریب رگرسیون، مربوط به حضور پارامتر بی بعد شیب سرریز می باشد. برای رعایت اختصار، از آوردن ترکیبات مختلف رگرسیون بین پارامترهای بی بعد صرف نظر شده و فقط معادلات منتخب از بین آنها به شرح جدول ۳ ارائه می شود.

د- تحلیل آماری مدل های خطی چند متغیره برای شیب های ۱۵، ۲۵، ۴۵ درجه: در این بخش از تمامی اطلاعات حاصل از آزمایش ها برای شیب های ۱۵، ۲۵، ۴۵ درجه و تعداد پله های متفاوت ۵ تا ۵۰ عدد در رگرسیون چند متغیره استفاده می گردد. رابطه (۷) به دست آمده از آنالیز ابعادی در نظر گرفته می شود. نتایج رگرسیون خطی چند متغیره توسط نرم افزار SPSS به صورت جدول ۲ می باشد.

جدول ۳- معادلات منتخب ترکیبات مختلف بین پارامترهای بی بعد برای سرریزهای پلکانی با شیب ۴۵، ۲۵، ۱۵ درجه

معادله رگرسیون	ضریب تبیین $r^2$	درصد خطای متوسط نسبی
$\frac{\Delta H}{H_t} = -542.62 + 656.32 \left( \frac{H_{dam}}{y_c} \right)^{-0.0032} - 0.0012 R_n^{0.895} - 0.076 F_r^{2.967} - 2.697 N^{0.178} + 12.32 S$	• ۰/۹۹۳	• ۰/۳۰۷
$\frac{\Delta H}{H_t} = 107.190 - 6.259 N^{0.098} - 0.00017 R_n^{1.051} - 0.069 F_r^{3.021}$	• ۰/۹۹۲	• ۰/۴۵۰
$\frac{\Delta H}{H_t} = 99.061 - 0.00018 R_n^{1.047} - 0.073 F_r^{3.011}$	• ۰/۹۹۱	• ۰/۴۵۳
$\frac{\Delta H}{H_t} = 101.0585 - 0.000752 S + 3.93 E - 9 R_n^2 - 9.32 E - 15 * R_n^3$	• ۰/۹۰۰	• ۰/۷۱۰
$\frac{\Delta H}{H_t} = 99.061 - 0.00018 R_n^{1.047} - 0.073 F_r^{3.011}$	• ۰/۹۹۱	• ۰/۴۵۷

آنالیز رگرسیون چند متغیره نشان داد که از بین پارامترهای بی بعد موجود، شیب سرریز و عدد رینولدز در تخمین استهلاک انرژی جریان مهم‌تر از بقیه می‌باشد.

#### ۵- نتیجه‌گیری

برای بررسی اثر شیب سرریز روی استهلاک انرژی، ۱۲ مدل فیزیکی از سرریزهای پلکانی با شیب‌های ۴۵، ۲۵، ۱۵ درجه و تعداد ۵ الی ۵۰ پله (شش حالت) ساخته و مورد آزمایش قرار گرفت. نتایج این پژوهش نشان داد که:

- با افزایش دبی، استهلاک انرژی نسبی نیز کاهش می‌یابد.
- افزایش شیب سرریز باعث افزایش استهلاک انرژی می‌گردد که علت آن افزایش اندازه حرکت تبادلی بین جریان چرخشی زیر هر پله و جریان رویه‌ای می‌باشد.
- نتایج این پژوهش تطابق زیادی را با نتایج فلدر و چانسون [۶] نشان می‌دهد.

#### ۶- منابع

- [۱] سلماسی، ف. ۱۳۸۸. اثر تعداد پله‌ها بر استهلاک انرژی در سرریزهای پله‌ای بر اساس روش جدید طراحی، دانش آب و خاک دانشکده کشاورزی دانشگاه تبریز، شماره ۱ جلد ۱۹، صفحات ۲۷ تا ۳۸.
- [۲] شجاع، ف، سلماسی، ف، فرسادی زاده، د، ناظمی، ا و صدرالدینی، ح. ۱۳۹۱. تعیین ابعاد بهینه سرریزهای پله‌ای جهت حداکثرسازی استهلاک انرژی با استفاده از الگوریتم ژنتیک، دانش آب و خاک دانشکده کشاورزی دانشگاه تبریز، شماره ۱ جلد ۲۲، صفحات ۹۱ تا ۱۰۴.

- area in skimming flows on moderate-slope stepped spillways. *Environ. Fluid Mech.*, 9 (4): 427-441.
- [11] Matos, J. and Quintela, A. 1994. Jet flow on stepped spillways. *Discussion, Journal of Hydraulic Engineering*. ASCE, 120 (2): 443-444.
- [12] Pegram, G.G.S and Officer, A.K., and Mottram, S.R. 1999. Hydraulic of skimming flow on modeled stepped spillways. *Journal of Hydraulic Engineering*. ASCE, 125 (5): 500-509.
- [13] Peyras, L., Royet, P., and Degoutte, G. 1992. Flow and energy dissipation over stepped gabion weirs. *Journal of Hydraulic Engineering*. ASCE, 118 (5): 707-717.
- [14] Rajaratnam, N. 1990. Skimming flow in stepped spillway. *Journal of Hydraulic Engineering*. ASCE, 116(5): 587-591.
- [15] Rice, C.E., and Kadavy, K.C. 1996. Model study of roller compacted concrete stepped spillway. *Journal of Hydraulic Engineering*. ASCE, 122 (6): 292-297.
- [16] Sorensen, R.M. 1985. Stepped spillway hydraulic model investigation. *Journal of Hydraulic Engineering*. ASCE, 111 (12): 1461-1472.
- [17] Tozzi, M.J. 1992. Flow characterization/behavior on stepped spillways. PhD thesis, University of Sao Paulo- Brazil.
- [3] Chamani, M.R. and Rajaratnam, N. 1999. Characteristics of skimming flow over stepped spillways. *Journal of Hydraulic Engineering*. ASCE, 125 (4): 361-368.
- [4] Chanson, H. 1994a. Hydraulic design of stepped channels and spillways. The university of Queensland, Report CH43/94.
- [5] Chanson, H. 1994b. Comparison of energy dissipation between nappe and skimming flow regimes on stepped chutes. *Journal of Hydraulic Research*. 32(2): 213-218.
- [6] Chanson, H. 1994c. Jet flow on stepped spillways. *Discussion, Journal of Hydraulic Engineering*, 120(2): 441-442.
- [7] Christodoulou, G.C., 1993. Energy dissipation on stepped spillways. *Journal of Hydraulic Engineering*, ASCE, 119(5): 644-649.
- [8] Essery, I.T.S., and Horner, M.W. 1971. The hydraulic design of stepped spillways. Report 33, Constr. Industry Res. and Information Assoc., London. England.
- [9] Felder, S. and Chanson, H. 2009. Energy dissipation down a stepped spillway with nonuniform step heights. *Journal of Hydraulic Engineering*. ASCE, 137 (11): 1543-1548.
- [10] Felder, S. and Chanson, H. 2011. Energy dissipation, flow resistance and gas-liquid interfacial

## Effect of slope on energy dissipation in flow over stepped spillway

Farzin Salmasi<sup>1\*</sup> and Hadi Arvanaghi<sup>2</sup>

<sup>1</sup>Associte Prof, Department of Water Eng., Tabriz Univ., Tabriz

<sup>2</sup>Assistant Prof, Department of Water Eng., Tabriz Univ., Tabriz

\*Corresponding author: *Salmasi@Tabrizu.ac.ir*

### Abstract

Recently, stepped spillways were the subject of many researches because of more effective energy dissipation and reduction in the size of the stilling basins. In the present work, stepped spillways sloped at 15, 25, 45 degrees with 5, 10, 15 steps have been investigated in a physical model. Spillways consisted of standard Ogee followed by constant slope toward the downstream river. The purpose of this research was to investigate the effects of number of steps and slope on the energy dissipation. Results showed that the rate of energy dissipation per unit length increases with spillway height and slope with the same number of steps. Analyze of multiple regressions showed that dimensionless parameter of Reynolds number and spillway slope have more significant effect on energy dissipation. An empirical equation then extracted to predict the energy dissipation by such spillways.

**Keywords:** Energy dissipation, slope, stepped spillway, multiple regressions.

---

## Effect of Slope on Energy Dissipation in Flow Over Stepped Spillway

F. Salmasi<sup>1\*</sup>, H. Aronghi<sup>2</sup>

<sup>1</sup>Associat Prof, Department of Water Engineering, University of Tabriz, Tabriz, Iran

<sup>2</sup>Assistant Prof, Department of Water Engineering, University of Tabriz, Tabriz, Iran

\*Corresponding author: salmasi@tabrizu.ac.ir (F. Salmasi)

---

### Abstract

Recently, stepped spillways were the subject of many researches because of more effective energy dissipation and reduction in the size of the stilling basins. In the present work, stepped spillways sloped at 15, 25, 45 degrees with 5, 10, 15 steps have been investigated in a physical model. Spillways consisted of standard Ogee followed by constant slope toward the downstream river. The purpose of this research was to investigate the effects of number of steps and slope on the energy dissipation. Results showed that the rate of energy dissipation per unit length increases with spillway height and slope with the same number of steps. Analyze of multiple regressions showed that dimensionless parameter of Reynolds number and spillway slope have more significant effect on energy dissipation. An empirical equation then extracted to predict the energy dissipation by such spillways.

---

**Keywords:** Energy dissipation, slope, Stepped spillway, multiple regressions.